

越流不透過水制における水刎ね効果

大同工業大学大学院 学生員 ○ 大嶺 大生
 大同工業大学大学院 学生員 山下 敦
 大同工業大学 正会員 久保田 稔

1.はじめに 不透過水制の働きとしては、護岸効果として水刎ね効果を挙げる

ことができるが、「水刎ね効果」そのものを水理量と結びつけた研究は少ないようである。そこで、水制模型を用いて水制越流条件で固定床実験を行い、水制間隔や水深の違いによる水刎ね角度の相違について検討を加えている。

2. 実験条件 実験に用いた水路は、長さ 25m、幅 50cm、高さ 50cm で勾配 1/500 に設定したコンピューター制御の可変勾配式実験水路である。実験に使用した水制模型は、高さ 5cm、幅 5cm、長さ 15cm のアクリル角材である。表 1 は実験条件であり、実験番号は水制間隔で大きく分類した後、水深と流量とで細分している。流速については、2成分電磁流速計を用い、流れ方向と水路幅方向の流速を路床 上 3cm と水面下 2cm の 2 断面を測定した。

3. 実験結果と考察 図 1 は、水面下 2cm の深さでの水制幅中央測線の水路幅方向での流速である。同図より、水制間隔によって最大流速が異なるものの、水制先端付近では対岸より極めて流速が遅くなっていると推測できる。

図 2 は、水面下 2cm の深さでの水刎ね効果を示す水刎ね角度 θ_0 の定義図である。流れ方向の流速 u 、水制設置側壁から対岸へ向かう流速 v とがなす角度を正の角度 θ_0 としている。図 3 は、水路幅方向における水制幅中央測線（流れ方向無次元水制間距離 $x_* = x/L = 0$ ）上と水制間中央測線 ($x_* = 0.5$) 上での水刎ね角度である。同図中では、 $x_* = 0$ と 0.5 の図が縦軸をずらしてある。同図より、 $x_* = 0.5$ の場合、水制設置側壁付近では水刎ね角度が大きく、水制先端部さらに対岸へ近づくにつれて角度は緩くなっている。また $x_* = 0$ の場合

にも、水制間隔が極めて狭い $L = 22.5$ cm の場合を除き、角度 θ_0 の傾向は $x_* = 0.5$ の場合と同様である。同図の水刎ね角度の水路幅方向への変化の傾向は水制間内の各位置で常に現れており、以降に用いる「水刎ね角度 θ_1 」としては、水制先端部と先端部前・後 2.5 cm 離れた流れ方

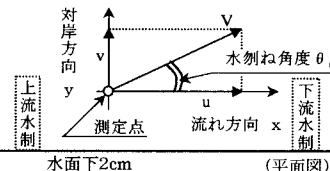


図 2 水刎ね角度 θ_0 の定義図

断面平均流速である。現時

表 1 実験条件

	水制間隔 (cm)	水深 (cm)	流量 (L/s)
1-10-25	67.5	10.33	25
1-20-25		19.33	25
2-10-7		10.55	7
2-10-10		9.87	10
2-10-12		9.95	12
2-10-17		10.03	17
2-10-22		10.38	22
2-15-10		15.20	10
2-15-15		15.25	15
2-15-20	45	15.05	20
2-15-22		15.27	22
2-15-25		15.30	25
2-15-27		14.80	27
2-15-30		14.87	30
2-15-32		15.12	32
2-15-35		16.00	35
2-20-22		20.60	22
3-10-22		10.22	22
3-15-22	22.5	15.53	22
3-20-22		20.02	22

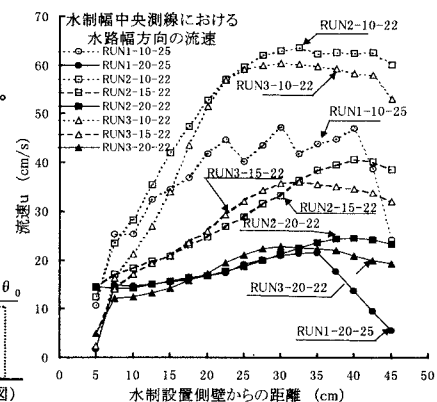


図 1 水路幅方向での流速 u

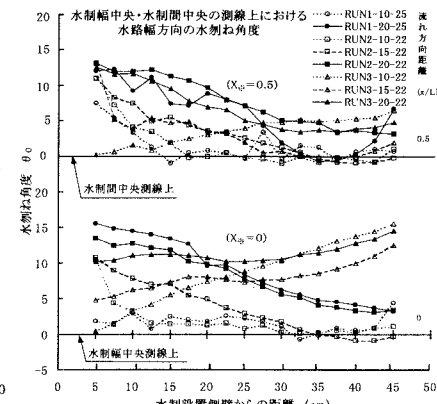


図 3 水路幅方向の水刎ね角度 θ_0

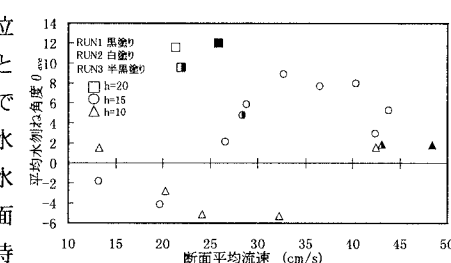
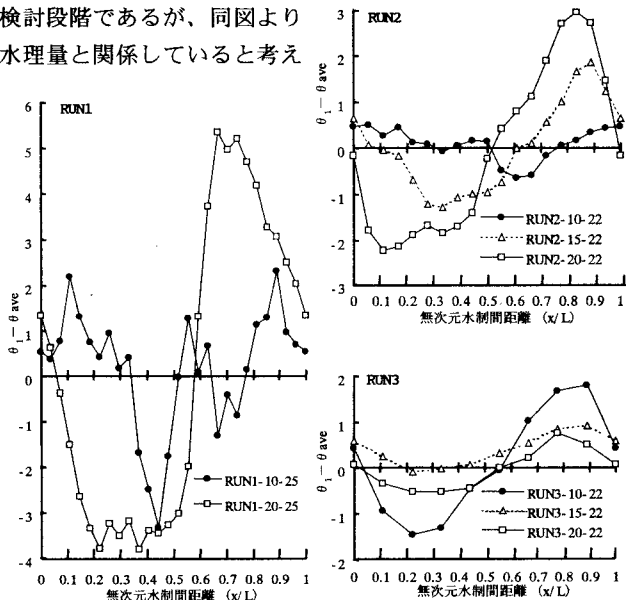
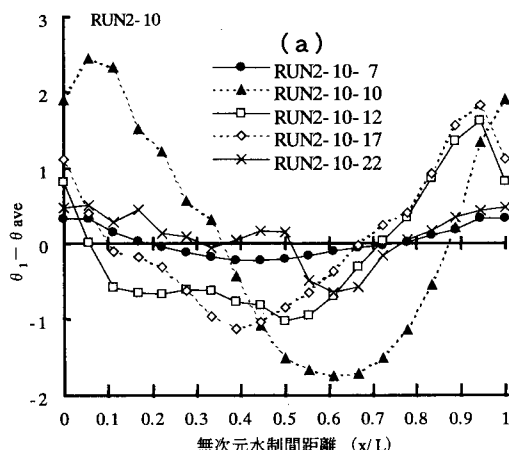
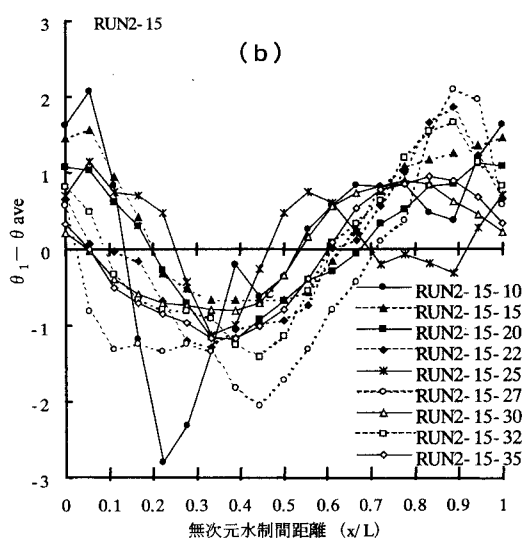


図 4 断面平均流速変化の平均角度 θ_{ave}

角度 θ_{ave} がどの様な水理量と関わっているか検討段階であるが、同図より平均水剝ね角度 θ_{ave} は一定値ではなく大いに水理量と関係していると考えられる。図 5 は、平均水剝ね角度 θ_{ave} と流れ方向の各位置での水剝ね角度 θ_1 との角度差 ($\theta_1 - \theta_{ave}$) と無次元水制間距離 (x/L) である。同図より、水制間隔が長い RUN 1 と 2 の水深が 2.0 cm (□印) の場合、 $0 < x_* < 0.6$ の領域で角度差が負であり、この角度差の値は水深が浅くなるにつれ小さくなり、水深 1.0 cm (●印) の場合には $0 < x_* < 0.3$ の領域で正の値も現れているが、平均値的には、 $x_* = 0.6$ で角度差が負から正へ変化している。角度差の値は、RUN 2 で極めて良く現れている様に、水制間隔および水深の増加とともに大きくなる。一方、水制間隔がもっとも小さい RUN 3 では、角度差が負から正に変わる位置はほぼ 0.6 ではあるが、水深による変化は上記 RUN 1・2 と全く異なっている。

すなわち、水制間隔の違いによって水制間内に発生する渦が全く異なることを示唆している。図 6 は、RUN 2 ($L=45\text{cm}$) による水深一定で流量が変化した場合の角度差変化である。同図 a (水深 $h=10\text{cm}$) では、角度差の値が小さいものの、流量つまり流速の増加と共に角度差の値が小さくなる傾向が現れており、この傾向は同図 b (水深 $h=15\text{cm}$) の場合にも現れている。すなわち、水剝ね角度 θ_1 は $x_* = 0.6$ の位置で若干増減するものの、流速が大きくなると、すなわち、平均値的には流速が大きくなると水制間での水剝ね角度 θ_1 は一定の値となるようである。

図 5 無次元水制間での角度差 ($\theta_1 - \theta_{ave}$)図 6 RUN2 ($L=45\text{cm}$)・水深一定・流量変化での角度差 ($\theta_1 - \theta_{ave}$)

4. 結論 水剝ね角度の平均値からの角度差 ($\theta_1 - \theta_{ave}$) の値そのものは小さいが、水制間無次元距離 $x_* = 0.6$ の位置で負から正に変化する。また、断面平均流速が大きくなるに従い、水制間での水剝ね角度 θ_1 はほぼ一定の値となる様である。なお、今後の課題として、平均水剝ね角度 θ_{ave} と水理量との関係について検討を加える必要がある。